

Quantenrechner und Grovers Algorithmus

Dirk Winkler

Informatik

Technische Universität Chemnitz

2. Januar 2005

Inhalt

Hintergrund

Einführung

Quanteninformation

Grovers Algorithmus

Verallgemeinerungen

Literatur

Entwicklung

- ▶ Feynmann, Richard P. (1982): Simulating physics with computers
 - ▶ vermutet exponentielle Verlangsamung bei Simulation eines Quantensystems mit R Partikeln
 - ▶ Grund: Beschreibungsgrösse exponentiell vs. linear
 - ▶ Vermutung: Quantenrechner schneller
- ▶ Deutsch, David, 1985: Theorie für Quantenrechner: Beschreibung eines 'universellen Quantenrechners'
- ▶ Bernstein, Vazirani, 1997: QTM simuliert QTM in Polynomialzeit

Physikalische Systeme

- ▶ physikalisches Modell muss experimentell nachweisbar sein – Beschreibung eines Systemzustandes durch Tupel von Observablen
- ▶ zeitliche Veränderung des Zustandes: Gleichungen, Zustand von Zeit abhängig: $x(t)$ – zeitliche Entwicklung (time evolution)

Beispiel

- ▶ *Partikelzustand Position, Impuls, $x = (x_1, x_2, x_3, p_1, p_2, p_3)$*
 - ▶ *erhalten Zustandsraum \mathbf{R}^6*
- ▶ zusammengesetzte Systeme: Kartesisches Produkt

Probabilistische Systeme

- ▶ Diskrepanz zwischen Modellen und Realität; ggf. nur Wahrscheinlichkeitsaussagen möglich
- ▶ Annahme: System habe beobachtbare Zustände x_1, \dots, x_n (reine Zustände), diese korrespondieren mit Basisvektoren $[x_1], \dots [x_n]$
- ▶ Zustand nur durch Verteilung gegeben: $p_1[x_1] + \dots + p_n[x_n]$ (gemischter Zustand), Vektorschreibweise: $(p_1, \dots, p_n)^T$

Beispiel

Beim Wurf einer fairen Münze lässt sich der Zustand als $\frac{1}{2}[Kopf] + \frac{1}{2}[Zahl]$ auffassen (solange das Ergebnis nicht feststeht).

Probabilistische Systeme

- ▶ Zeit diskret betrachten; Zustandsübergänge probabilistisch:
 $[x_i] \mapsto p_{1i}[x_1] + \dots + p_{ni}[x_n]$, dabei $p_{1i} + \dots + p_{ni} = 1$ und
 $p_{ji} = P(x_i \mapsto x_j | x_i)$

- ▶ Entwicklung eines gemischten Zustandes $p_1[x_1] + \dots + p_n[x_n]$
zu

$$p_1(p_{11}[x_1] + \dots + p_{n1}[x_n]) + \dots + p_n(p_{1n}[x_1] + \dots + p_{nn}[x_n]) = p'_1[x_1] + \dots + p'_n[x_n]$$

$$\begin{pmatrix} p'_1 \\ p'_2 \\ \vdots \\ p'_n \end{pmatrix} = \begin{pmatrix} p_{11} & p_{12} & \dots & p_{1n} \\ p_{21} & p_{22} & \dots & p_{2n} \\ \dots & \dots & \dots & \dots \\ p_{n1} & p_{n2} & \dots & p_{nn} \end{pmatrix} \begin{pmatrix} p_1 \\ p_2 \\ \vdots \\ p_n \end{pmatrix}$$

- ▶ Markov-Matrix: Zeilensummen gleich Eins, damit
 $p'_1 + \dots + p'_n = p_1 + \dots + p_n$, Markovkette

Quantensysteme

Definition (Superposition für n-stufiges System)

Ein Quantenzustand besteht aus einer Überlagerung (Superposition)

$$\alpha_1 |x_1\rangle + \cdots + \alpha_n |x_n\rangle$$

- ▶ x_i : Zustände, $|x_i\rangle$: ONB des Zustandsraumes \mathbf{H}_n
- ▶ die komplexen α_i heissen Amplituden von x_i , die Wahrscheinlichkeit, x_i zu beobachten, ist $|\alpha_i|^2$ mit $|\alpha_1|^2 + \cdots + |\alpha_n|^2 = 1$
- ▶ Messung des Zustandes (Beobachtung) führt zur Zerstörung der Superposition, System behält ermittelten Status bei

Quantensysteme

- ▶ Markovketten sind kein ausreichendes Beschreibungsmittel
- ▶ $\alpha_i = \Psi(x_i)$, Wellenfunktion
- ▶ Vektordarstellung und zeitliche Entwicklung analog zu probabilistischen Systemen:

$$\begin{pmatrix} \alpha'_1 \\ \alpha'_2 \\ \vdots \\ \alpha'_n \end{pmatrix} = \begin{pmatrix} \alpha_{11} & \alpha_{12} & \dots & \alpha_{1n} \\ \alpha_{21} & \alpha_{22} & \dots & \alpha_{2n} \\ \dots & \dots & \dots & \dots \\ \alpha_{n1} & \alpha_{n2} & \dots & \alpha_{nn} \end{pmatrix} \begin{pmatrix} \alpha_1 \\ \alpha_2 \\ \vdots \\ \alpha_n \end{pmatrix}$$

Quantensysteme – Eigenschaften

- ▶ Matrizen sind unitär, daher ist zeitliche Entwicklung reversibel
- ▶ Zusammengesetzte Systeme:
 - ▶ Basiszustände je $|x_1\rangle, \dots, |x_n\rangle$ und $|y_1\rangle, \dots, |y_m\rangle$
 - ▶ neue Basisvektoren $(|x_i\rangle, |y_j\rangle)$
 - ▶ Darstellung $\sum_{i=1}^n \sum_{j=1}^m \alpha_{ij} |x_i, y_j\rangle$ mit $\sum_{i=1}^n \sum_{j=1}^m |\alpha_{ij}|^2 = 1$
 - ▶ mathematisches Modell: Tensorprodukt der Zustandsräume $\mathbf{H}_n \otimes \mathbf{H}_m$ mit Basis $|x_i\rangle \otimes |y_j\rangle = |x_i\rangle |y_j\rangle = |x_i, y_j\rangle$ (Dimension mn)
 - ▶ Tensorprodukt nicht kommutativ
 - ▶ Zustand *zerlegbar*, falls

$$\sum_{i=1}^n \sum_{j=1}^m \alpha_{ij} |x_i\rangle |y_j\rangle = \left(\sum_{i=1}^n \alpha_i |x_i\rangle \right) \left(\sum_{j=1}^m \beta_j |y_j\rangle \right)$$

- ▶ ansonsten *verschränkt*

Quanteninformation

- ▶ Quantenbit in zweistufigem System speichern: $c_0 |0\rangle + c_1 |1\rangle$
- ▶ $|0\rangle = \begin{pmatrix} 1 \\ 0 \end{pmatrix}, |1\rangle = \begin{pmatrix} 0 \\ 1 \end{pmatrix}$
- ▶ Ein-Bit-Operation durch unäres Quantengatter: unitäre Abbildung $U : \mathbf{H}_2 \mapsto \mathbf{H}_2$ mit
 $|0\rangle \mapsto a |0\rangle + b |1\rangle, |1\rangle \mapsto c |0\rangle + d |1\rangle$
- ▶ unitäre Matrix

$$U = \begin{pmatrix} a & c \\ b & d \end{pmatrix}, \begin{pmatrix} 1 \\ 0 \end{pmatrix} \mapsto \begin{pmatrix} a \\ b \end{pmatrix}, \begin{pmatrix} 0 \\ 1 \end{pmatrix} \mapsto \begin{pmatrix} c \\ d \end{pmatrix}$$

Quantengatter

- ▶ Walsh-Matrix, Hadamard-Matrix:

$$H = W_2 = \begin{pmatrix} \frac{1}{\sqrt{2}} & \frac{1}{\sqrt{2}} \\ \frac{1}{\sqrt{2}} & -\frac{1}{\sqrt{2}} \end{pmatrix}$$

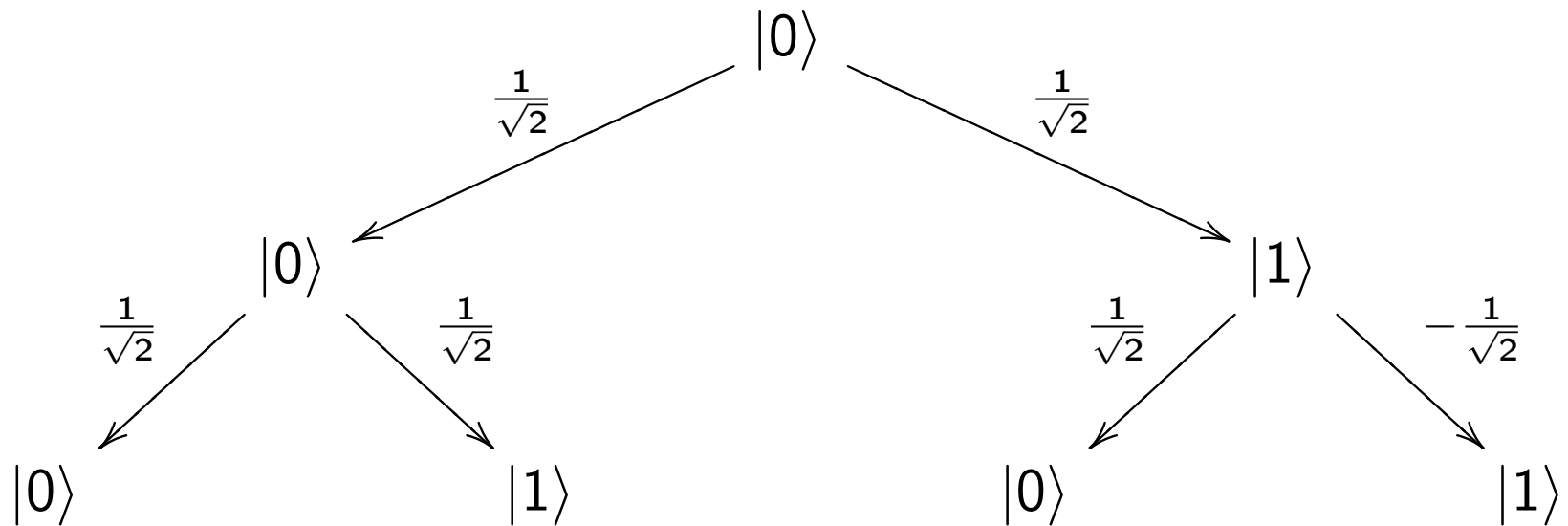
- ▶ $W_2 W_2 = I$, W_2 ist unitär

Beispiel

- ▶ *Simulation eines Münzwurfs mit W_2 ; wir definieren die Zustände $|Kopf\rangle = \begin{pmatrix} 1 \\ 0 \end{pmatrix}$ und $|Zahl\rangle = \begin{pmatrix} 0 \\ 1 \end{pmatrix}$.
 $|Kopf\rangle \mapsto \frac{1}{\sqrt{2}} |Kopf\rangle + \frac{1}{\sqrt{2}} |Zahl\rangle = \frac{1}{\sqrt{2}} \begin{pmatrix} 1 \\ 1 \end{pmatrix}$.*
- ▶ *Im Folgezustand wird also Kopf oder Zahl mit Wk. $\frac{1}{2}$ beobachtet. Verzichtet man auf die Messung und führt die Operation erneut aus, ergibt sich der Zustand $\begin{pmatrix} 1 \\ 0 \end{pmatrix} = W_2 \frac{1}{\sqrt{2}} \begin{pmatrix} 1 \\ 1 \end{pmatrix}$, also $|Kopf\rangle$.*
- ▶ *Beim zweiten Münzwurf kann nur Kopf herauskommen—probabilistisch nicht modellierbar.*

Interferenz

- ▶ auf ein Quantenbit bezogen:



- ▶ Grund: Wahrscheinlichkeiten werden nicht selbst überlagert, aber die Amplituden α_i bzw. Wellenfunktionen Ψ
- ▶ bei probabilistischen Systemen nicht möglich, da nur nichtnegative reelle Koeffizienten auftauchen

Quantenregister

- ▶ Zwei-Bit-Register: $\mathbf{H}_4 = \mathbf{H}_2 \otimes \mathbf{H}_2$
- ▶ Basis $|00\rangle = \begin{pmatrix} 1 \\ 0 \\ 0 \\ 0 \end{pmatrix}$, $|01\rangle = \begin{pmatrix} 0 \\ 1 \\ 0 \\ 0 \end{pmatrix}$, $|10\rangle = \begin{pmatrix} 0 \\ 0 \\ 1 \\ 0 \end{pmatrix}$, $|11\rangle = \begin{pmatrix} 0 \\ 0 \\ 0 \\ 1 \end{pmatrix}$
- ▶ Zustand $c_0 |00\rangle + c_1 |01\rangle + c_2 |10\rangle + c_3 |11\rangle$
mit $\sum_{i=0}^3 |c_i|^2 = 1$
- ▶ Wahrscheinlichkeit, dass erstes Qubit im Zustand 0 bzw. 1 ist:
 $|c_0|^2 + |c_1|^2$ und $|c_2|^2 + |c_3|^2$
- ▶ n-Bit-Register: $\mathbf{H}_{2^n} = \mathbf{H}_2 \otimes \cdots \otimes \mathbf{H}_2$
- ▶ Zustand teilbar (decomposable), wenn als Produkt darstellbar

Quantenregister

Beispiel

- ▶ *teilbarer Zustand:*

$$\frac{1}{2}(|00\rangle + |01\rangle + |10\rangle + |11\rangle) = \frac{1}{\sqrt{2}}(|0\rangle + |1\rangle) \frac{1}{\sqrt{2}}(|0\rangle + |1\rangle)$$

- ▶ *Dagegen ist $\frac{1}{\sqrt{2}}(|00\rangle + |11\rangle)$ nicht teilbar.*

Beweis.

Sei $\frac{1}{\sqrt{2}}(|00\rangle + |11\rangle) = (a_1 |0\rangle + b_1 |1\rangle)(a_2 |0\rangle + b_2 |1\rangle)$. Dann

$$\frac{1}{\sqrt{2}}(|00\rangle + |11\rangle) = a_1 a_2 |00\rangle + a_1 b_2 |01\rangle + b_1 a_2 |10\rangle + a_2 b_2 |11\rangle.$$

$$\begin{aligned} \implies \quad & a_1 a_2 = 1/\sqrt{2} & b_1 a_2 = 0 \\ & b_1 b_2 = 1/\sqrt{2} & a_1 b_2 = 0 \end{aligned}$$

Dies führt zum Widerspruch.



Operationen auf Quantenregistern

- ▶ betrachten ohne Einschränkung Zwei-Bit-Register

Definition (Binäre Quantengatter)

Ein binäres Quantengatter ist eine unitäre Abbildung $U : \mathbf{H}_4 \rightarrow \mathbf{H}_4$.

- ▶ $\mathbf{H}_4 = \mathbf{H}_2 \otimes \mathbf{H}_2$ enthält Vektoren, die Tensorprodukte aus Vektoren von \mathbf{H}_2 sind
- ▶ Tensorprodukt zweier Matrizen $M \otimes N$:

$$\begin{pmatrix} a & b \\ c & d \end{pmatrix} \otimes \begin{pmatrix} e & f \\ g & h \end{pmatrix} = \begin{pmatrix} a \begin{bmatrix} e & f \\ g & h \end{bmatrix} & b \begin{bmatrix} e & f \\ g & h \end{bmatrix} \\ c \begin{bmatrix} e & f \\ g & h \end{bmatrix} & d \begin{bmatrix} e & f \\ g & h \end{bmatrix} \end{pmatrix} = \begin{pmatrix} ae & af & be & bf \\ ag & ah & bg & bh \\ ce & cf & de & df \\ cg & ch & dg & dh \end{pmatrix}$$

Operationen auf Quantenregistern

Beispiel

- ▶ Hadamard-Transformation $W_2 = H$ auf zwei Qubits erweitern:

$$H_2 = \frac{1}{\sqrt{2}} \begin{pmatrix} 1 & 1 \\ 1 & -1 \end{pmatrix} \otimes \frac{1}{\sqrt{2}} \begin{pmatrix} 1 & 1 \\ 1 & -1 \end{pmatrix} = \frac{1}{2} \begin{pmatrix} 1 & 1 & 1 & 1 \\ 1 & -1 & 1 & -1 \\ 1 & 1 & -1 & -1 \\ 1 & -1 & -1 & 1 \end{pmatrix}$$

- ▶ Anwendung auf Basisvektor $|x_1\rangle |x_2\rangle$, $x_1, x_2 \in \{0, 1\}$:

$$\begin{aligned} & \frac{1}{\sqrt{2}} (|0\rangle + (-1)^{x_1} |1\rangle) \otimes \frac{1}{\sqrt{2}} (|0\rangle + (-1)^{x_2} |1\rangle) = \\ & \frac{1}{2} (|00\rangle + (-1)^{x_2} |01\rangle + (-1)^{x_1} |10\rangle + (-1)^{x_1+x_2} |11\rangle) \end{aligned}$$

- ▶ Mit $x \odot i = (\sum_{j=1}^n x_j i_j) \bmod 2$ gilt für die Erweiterung auf \mathbf{H}_n

$$\mathbf{H}_n |x\rangle = \frac{1}{\sqrt{2^n}} \sum_{i=0}^{2^n-1} (-1)^{x \odot i} |i\rangle$$

Grovers Suchalgorithmus

- ▶ gegeben: $f : \{0, 1\}^n \rightarrow \{0, 1\}$
gesucht: x mit $f(x) = 1$
- ▶ Suchraum mit $N = 2^n$ Elementen, Annahme: $t \geq 1$ Lösungen
- ▶ f als Quanten-Blackbox-Funktion darstellen:
- ▶ für $f : \{0, 1\}^n \rightarrow \{0, 1\}^m$ existiert ein umkehrbares
 $F : \{0, 1\}^{m+n} \rightarrow \{0, 1\}^{m+n}$ sowie die zugehörige unitäre
Transformation U_f

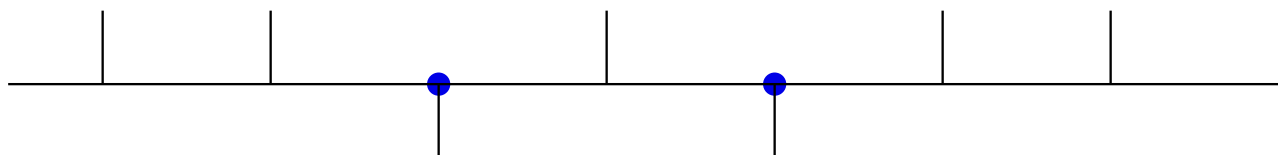
$$F(x, b) = (x, b \oplus f(x))$$

$$U_f |x, b\rangle = |x, b \oplus f(x)\rangle$$

- ▶ $F(x, 0) = (x, f(x))$, hier ist $m = 1$
- ▶ jeder Basisvektor $|x_i\rangle$ (Dimension $N = 2^n$) stellt eine mögliche Lösung dar

Vorgehen

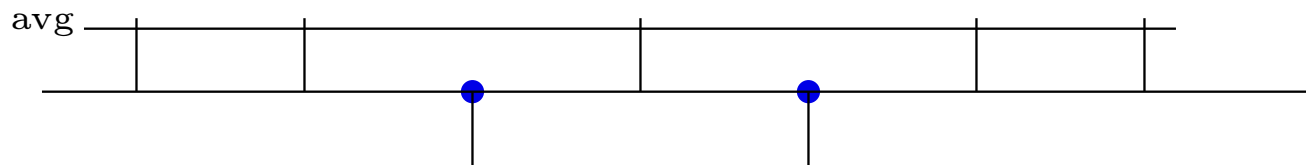
- ▶ Idee: Superposition aller Eingaben für f erzeugen, Amplituden der Lösungen verstärken, anschliessend Messung durchführen
- ▶ Walsh-Hadamard-Transformation
 - ▶ Erzeugen einer Superposition, in der alle Zustände (Eingaben für f) gleichwahrscheinlich enthalten sind
 - ▶ $H_n |x\rangle = \frac{1}{\sqrt{2^n}} \sum_{i=0}^{2^n-1} (-1)^{x \odot i} |i\rangle$, $H_n = H_n^{-1}$
 - ▶ Qubits anschliessend jeweils im Zustand $\frac{1}{\sqrt{2}} (|0\rangle + |1\rangle)$
- ▶ V_f -Operator: separiert die Lösungsvektoren durch Negation der Amplitude (bei Grover rein reellwertig):
 - ▶ $V_f |x\rangle = (-1)^{f(x)} |x\rangle$
 - ▶ Wahrscheinlichkeiten bleiben (noch) erhalten
 - ▶ Umsetzung durch
 $U_f |x\rangle \frac{1}{\sqrt{2}} (|0\rangle - |1\rangle) = V_f |x\rangle \frac{1}{\sqrt{2}} (|0\rangle - |1\rangle)$, Skizze:



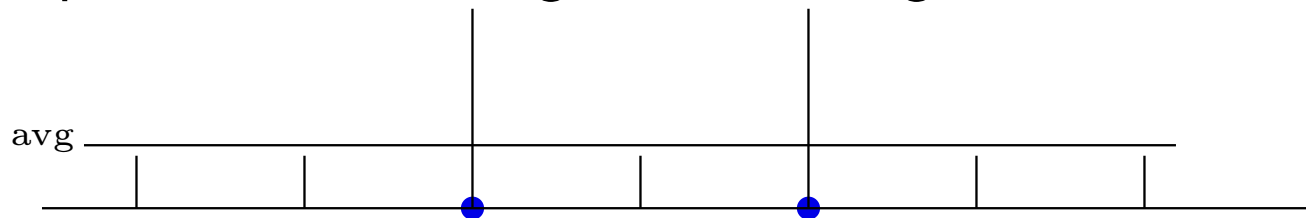
Vorgehen

D_n : Inversion am Durchschnitt

- ▶ Amplituden müssen betragsmäßig geändert werden
- ▶ sei der Durchschnitt der Amplituden $A = (\sum_{i=1}^N \alpha_i) / 2^n$:



- ▶ Operator D_n hat folgende Wirkung:



Inversion am Durchschnitt – Operator D_n

$$D_n \begin{pmatrix} \alpha_1 \\ \vdots \\ \alpha_n \end{pmatrix} = \begin{pmatrix} A - (\alpha_1 - A) \\ \vdots \\ A - (\alpha_n - A) \end{pmatrix} = \begin{pmatrix} 2A - \alpha_1 \\ \vdots \\ 2A - \alpha_n \end{pmatrix}$$

$$D_n = \begin{pmatrix} \frac{2}{2^n} - 1 & \frac{2}{2^n} & \cdots & \frac{2}{2^n} \\ \frac{2}{2^n} & \frac{2}{2^n} - 1 & \cdots & \frac{2}{2^n} \\ \cdots & \cdots & \cdots & \cdots \\ \frac{2}{2^n} & \cdots & \frac{2}{2^n} & \frac{2}{2^n} - 1 \end{pmatrix}$$

► auf Basis von Quantengattern:

► $D_n = H_n R_n H_n$, wobei

$$R_n = \begin{cases} |x\rangle, & |x\rangle = |0^{(n)}\rangle \\ -|x\rangle, & \text{sonst} \end{cases}$$

► R_n entspricht V_f mit $f(x) = x_1 \vee \cdots \vee x_n$

Algorithmus

- 1: gleichmäßige Superposition generieren: $|z\rangle := H_n |0^{(n)}\rangle$
- 2: $G_f = D_n V_f \left[\frac{\pi}{4 \arcsin \sqrt{\frac{t}{N}}} \right]$ -mal auf $|z\rangle$ anwenden
- 3: Beobachtung des Registers, Wert in x_0 speichern
- 4: $\exists 1 : f(x_0) = 1 \rightarrow$ Ende, x_0 ausgeben
- 5: $\exists 2 : f(x_0) = 0 \rightarrow$ gehe zu 1.

► Bemerkungen

- Wirkung des Grover-Operators:

$$\text{für } |z'_0\rangle = V_f |z_0\rangle = \frac{1}{\sqrt{N}} \left(\sum_{i \in \bar{L}} |i\rangle - \sum_{i \in L} |i\rangle \right),$$

$$\text{ist } |z_1\rangle = D_n |z'_0\rangle \approx \frac{1}{\sqrt{N}} \left(\sum_{i \in \bar{L}} |i\rangle + 3 \sum_{i \in L} |i\rangle \right)$$

- $x \in (0, 1] \implies \arcsin x > x : \left[\frac{\pi}{4 \arcsin \sqrt{\frac{t}{N}}} \right] < \frac{\pi}{4} \sqrt{\frac{N}{t}}$

Analyse

► Eigenschaften

- erwartete Iterationen*: $O(\sqrt{N/t})$, probabilistisch: $\Omega(N/t)$
- Laufzeit: je Iteration $O(n) = O(\log N)$ Qubit-Operationen, also insgesamt $O(\sqrt{N/t} \log N)$

► Beweisskizze (*)

- l_i : Amplitude einer Lösung nach Anwendung von G_f^i ,
 k_i : Nichtlösung
- Durchschnitt in Runde $i > 0$: $A_i = (t l_{i-1} + (N - t)k_{i-1})/N$
- Einsetzen Rekursion ($k_i = 2A_i - k_{i-1}$, $l_i = 2A_i - l_{i-1}$ ergibt

$$l_0 = k_0 = 1/\sqrt{N} \quad (1)$$

$$k_i = \frac{N - 2t}{N} k_{i-1} - \frac{2t}{N} l_{i-1} \quad (2)$$

$$l_i = 2\frac{N - t}{N} k_{i-1} + \frac{N - 2t}{N} l_{i-1} \quad (3)$$

Analyse

- ▶ Fortsetzung Beweisskizze

- ▶ definieren $\theta = \arcsin \sqrt{t/N}$, damit gilt

$$\begin{aligned} \sin \theta &= \sqrt{t/N} & \sin^2 \theta &= t/N \\ \cos^2 \theta &= (N-t)/N & \cos \theta &= \sqrt{(N-t)/N} \end{aligned}$$

- ▶ Lösungen (Bew. durch Additionstheoreme und Induktion):

$$k_i = \cos((2i+1)\theta) / \sqrt{N-t} \quad (4)$$

$$l_i = \sin((2i+1)\theta) / \sqrt{t} \quad (5)$$

- ▶ Wahrscheinlichkeit, eine der t Lösungen zu messen, ist
- $$t l_i^2 = \sin^2((2i+1)\theta) \stackrel{!}{=} 1 \implies (2i+1)\theta = \pi/2$$
- ▶ es folgt $i = \frac{\pi}{4\theta} - \frac{1}{2}$, daher wird G_f $\lfloor \pi/(4\theta) \rfloor$ -mal angewendet

Analyse

► Fortsetzung Beweisskizze

- $j = \lfloor i \rfloor$ abgerundet, daher Fehlermöglichkeit (Zeile 5, $\exists 2$)
- erneuter Durchlauf, wenn Nichtlösungsvektor gemessen wird:

$$\begin{aligned} P_E = (N - t)k_j^2 &= \cos^2 [(2j + 1)\theta] \\ &= \cos^2 [(2 \lfloor \pi/(4\theta) \rfloor + 1) \theta] \quad (6) \\ &= \cos^2 [(2 (\pi/(4\theta) - \epsilon) + 1) \theta] \\ &= \cos^2 [\pi/2 + (1 - 2\epsilon)\theta] \\ &= \sin^2 [(1 - 2\epsilon)\theta] \end{aligned}$$

- $\epsilon \in [0, 1) \implies \sin(-\theta) < \sin[(1 - 2\epsilon)\theta] \leq \sin \theta$, daraus folgt

$$P_E \leq \sin^2 \theta = t/N$$

Analyse

- ▶ Fortsetzung Beweisskizze

- ▶ Wahrscheinlichkeit für Neudurchlauf ist P_E ; Anzahl von Durchläufen $R \sim GEO(1 - P_E)$ hat Erwartungswert $E(R) = \frac{1}{1 - P_E} \leq \frac{N}{N-t}$, dieser ist ≤ 2 für $t \leq N/2$ und 1 sonst
- ▶ pro Durchlauf $\lfloor \frac{\pi}{4\theta} \rfloor + 1 < \frac{\pi}{4} \sqrt{\frac{N}{t}} + 1$ Iterationen, insgesamt also

$$O\left(\sqrt{\frac{N}{t}}\right)$$

□

- ▶ Sonderfall: $t = N/4 \implies P_E = 0$, damit ist $\theta = \frac{\pi}{6}$; einsetzen in (6)

Verallgemeinerungen

- ▶ unbekannte Lösungszahl ($t < \frac{3}{4}N$): ebenfalls $O\left(\sqrt{\frac{N}{t}}\right)$
- ▶ andere Lösungsräume $\{x_1, \dots, x_n\}$: ersetze H_n durch Transformation, die den $|x_i\rangle$ die gleiche Amplitude zuweist
- ▶ \exists Grover-basierter Algorithmus, der das Minimum mit Wahrscheinlichkeit $\frac{1}{2}$ in $O(\sqrt{N})$ Iterationen findet
- ▶ Lösungen zählen: Amplituden der Vektoren in L und \bar{L} zeigen nach Anwendung des Grover-Operators Periodizitäten; Quanten-Fourier-Transformation bestimmt diese annähernd und lässt auf Lösungsanzahl schlussfolgern

Literatur



Hirvensalo, Mika (2004). *Quantum Computing*. Zweite Auflage. Heidelberg: Springer.



Gruska, Jozef (1999). *Quantum Computing*. London: McGraw-Hill International (UK) Limited.



Berger, Andreas (2002). *Grovers Suchalgorithmus*. Technische Universität Chemnitz. Fakultät für Informatik.
<<http://www.tu-chemnitz.de/informatik/HomePages/THIS/Seminare/ss02/QC/berger.pdf>>